

# Complex structure within and around circumstellar disk: Ring & Gap, Interchange instability, Streamer and pseudo disk

Masahiro Machida (Kyushu University)

2024/11/11-13 初代星・初代銀河研究会2024

# 内容

- 円盤形成と惑星形成 (観測)
- 低金属量環境下でのアウトフロー (観測)
- 磁気交換型不安定 (観測・理論)
- 非球対称(or 非軸対称)降着(streamer) (観測・理論)
- 星周円盤と原始惑星系円盤 (理論)

低金属量環境下でのアウトフロー

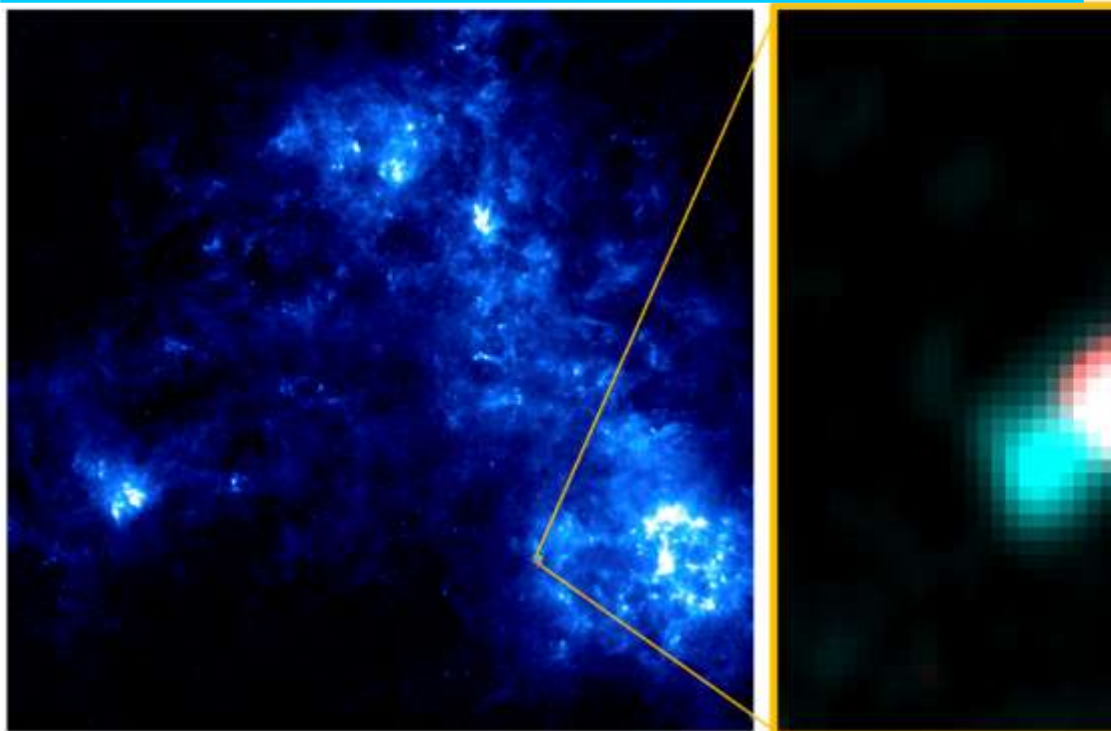
初期宇宙と現在の星形成の違い？

# プレスリリース: 小マゼラン雲での原始星アウトフローの検出

Tokuda et al. (2022)

2022.08.29

## Z=0.2 Z<sub>sun</sub> 環境下での原始星アウトフロー



### The First Detection of a Protostellar CO Outflow in the Small Magellanic Cloud with ALMA

Kazuki Tokuda<sup>1,2,3</sup>, Samita Zahedec<sup>2,1</sup>, Yari Kunitoshi<sup>4</sup>, Kosuke Higashino<sup>5</sup>, Kei E. I. Tanaka<sup>2,4</sup>, Aya Konishi<sup>6</sup>, Taisei Suzuki<sup>7</sup>, Nanyo Kitano<sup>8</sup>, Naoto Harada<sup>9</sup>, Takashi Shimonishi<sup>2</sup>, Nasim Neefamkondan<sup>6</sup>, Yasuo Fukui<sup>10</sup>, Akiko Kawamura<sup>11</sup>, Toshiyuki Onishi<sup>1</sup>, and Masahiro N. Machida<sup>1</sup>  
<sup>1</sup>Department of Earth and Planetary Sciences, Faculty of Science, Kyoto University, Nishikyo, Fushimi 819-0195, Japan  
<sup>2</sup>National Astronomical Observatory of Japan, National Institutes of Natural Sciences, 2-21-1 Osawa, Mitaka, Tokyo 181-8588, Japan  
<sup>3</sup>Department of Physics, Graduate School of Science, Osaka Metropolitan University, 1-1 Gakko-cho, Nakai-ku, Sakai, Osaka 599-8531, Japan  
<sup>4</sup>Center for Astrophysics and Space Astronomy, University of Colorado Boulder, Boulder, CO 80309, USA  
<sup>5</sup>Environmental Science Program, Faculty of Science, Niigata University, Ikarashi-2inocho 8050, Niimi-ku, Niigata, 951-8512, Japan  
<sup>6</sup>Department of Physics, United Arab Emirates University, Al-Ain, 15551, UAE  
<sup>7</sup>Department of Physics, Nagoya University, Furo-cho, Chikusa-ku, Nagoya 464-8601, Japan  
 Received 2022 July 1; revised 2022 July 15; accepted 2022 July 17; published 2022 August 26

#### Abstract

Protostellar outflows are one of the most outstanding features of star formation. Observational studies over the last several decades have successfully demonstrated that outflows are ubiquitously associated with low- and high-mass protostars in solar-metallicity Galactic conditions. However, the environmental dependence of protostellar outflow properties is still poorly understood, particularly in the low-metallicity regime. Here we report the first detection of a molecular outflow in the Small Magellanic Cloud with 0.2 Z<sub>⊙</sub>, using Atacama Large Millimeter/submillimeter

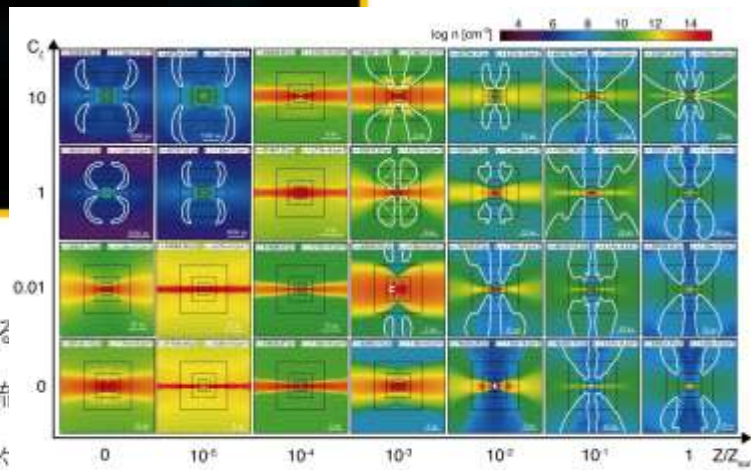


Figure 4. Plot of the density distribution of each isotope with models arranged based on their enrichment strength  $C_{13}$  (vertical axis) and metallicity  $Z/Z_{\odot}$  (horizontal axis). In each panel, the density distribution in the  $x-y$  plane is plotted, and the boundaries between the inflow and outflow regions, within which the gas is outflowing from the central system, is plotted as a white contour in each panel. The elongated size and central density profile are also given in the upper part of each panel, and the spatial results in physical the bottom right corner of each panel.

徳田(公募研究21H00049 及びB01班)、大西(B01班)らは小マゼラン雲に存在する遠鏡で観測しました。その結果、同銀河内にて始めて原始星からの双極分子流しました。このことは、低重元素量環境においても星形成過程が現在と定性的を示唆しています。

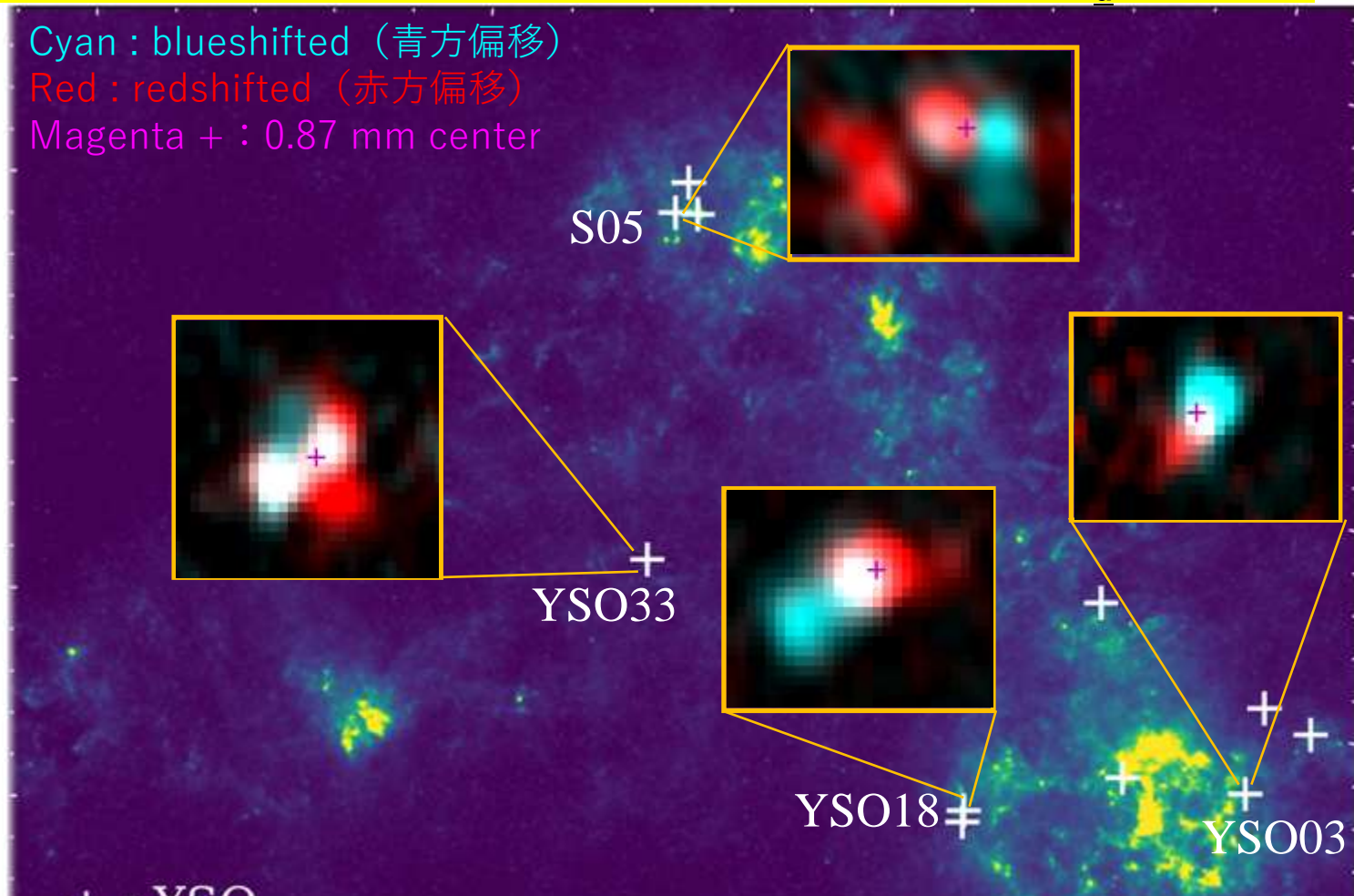
Higuchi et al. (2019)

アウトフローと思われる高速度成分を4天体で検出 ( $t_d \sim 10^4$  yr)

Cyan : blueshifted (青方偏移)

Red : redshifted (赤方偏移)

Magenta + : 0.87 mm center



+ : YSO

Credit: Herschel/ESA (350 [ $\mu\text{m}$ ]連続波)

※Tokuda et al. 2022, Shimonishi et al. 2023にて報告された内容を含む

大阪公立大 國年さんの発表ファイルから

# 磁気交換型不安定

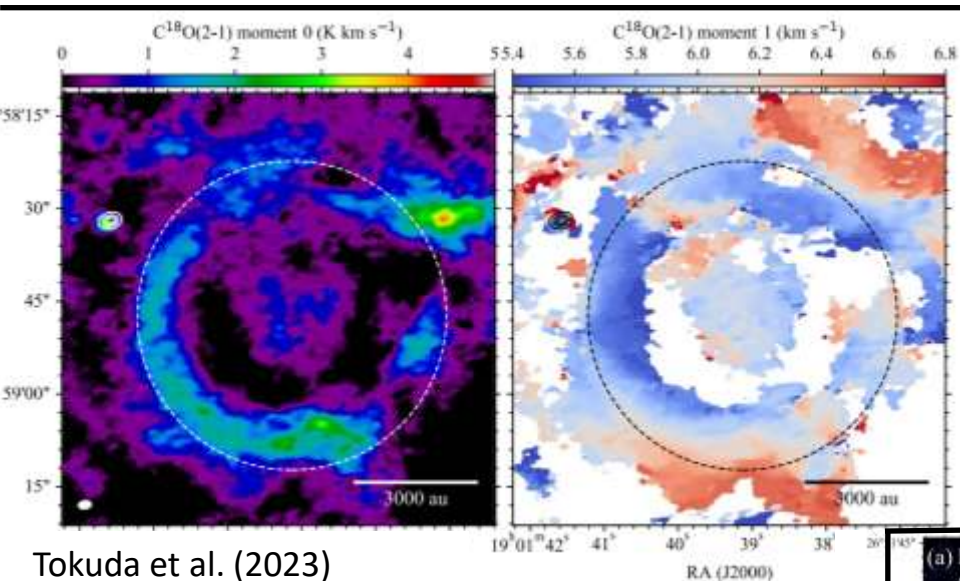
ALMAで検出される複雑な  
星周構造の起源は？

# Observations: magnetic interchange instability

Takahashi, MNN et al. (2019)  
Liu, MNM, et al. (2023)

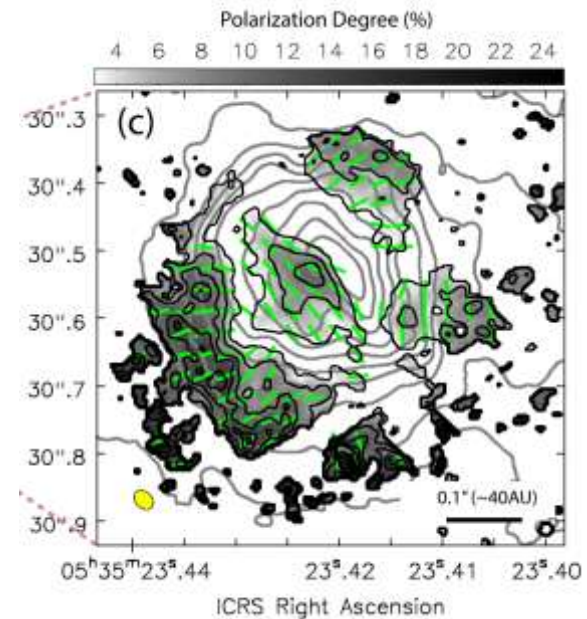
星周円盤外側の複雑な構造：~1000 au

- Ring, spur, wavy structure
- $Q \gg 1 \rightarrow$  重力不安定  $\times$   $v < 1 \text{ kms}^{-1} \rightarrow$  アウトフロー  $\times$



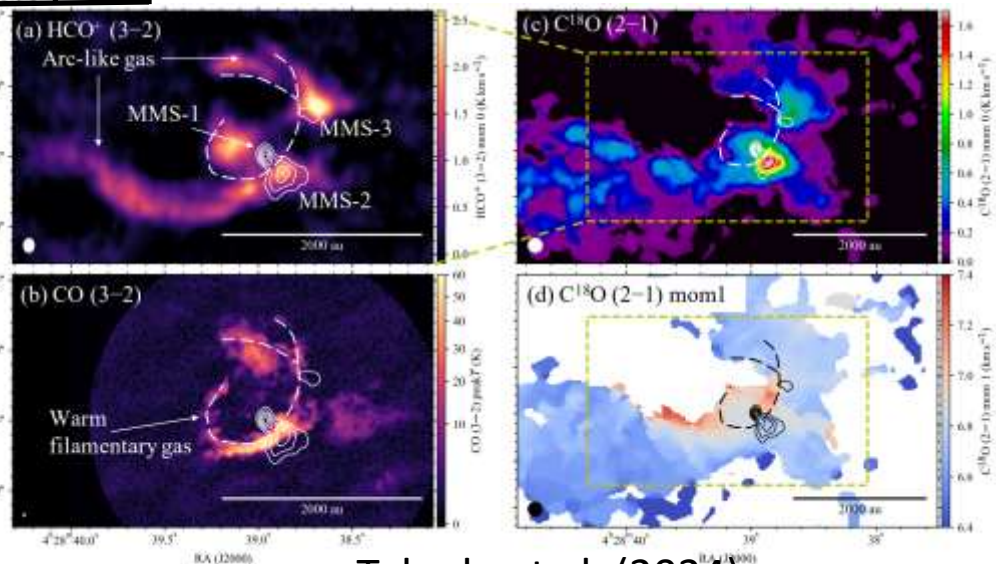
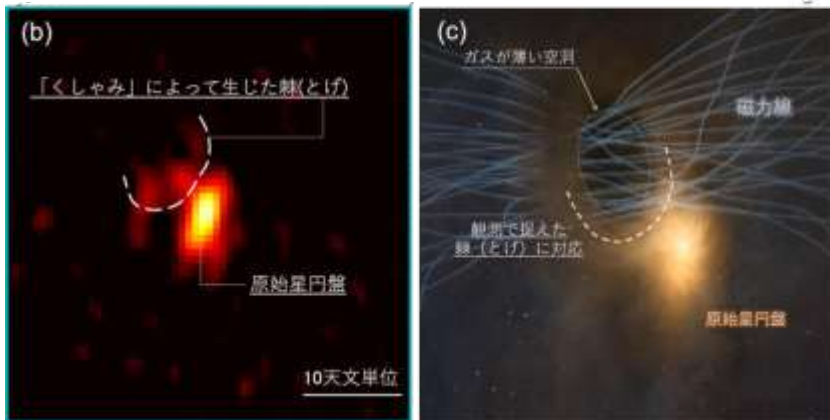
➤ 円盤は比較  
的コンパクト

➤ 若い段階  
(Class 0/I) でよ  
くにみられる



プレスリリース資料から

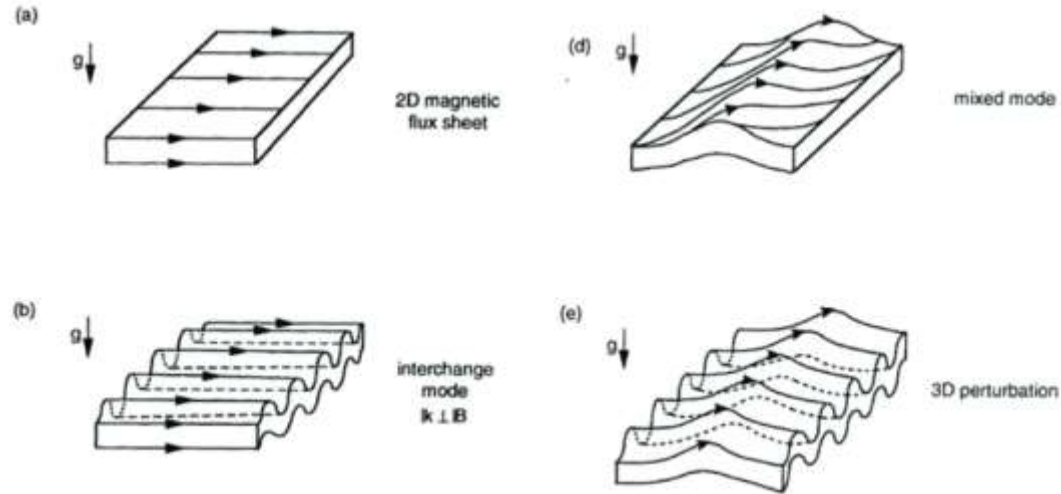
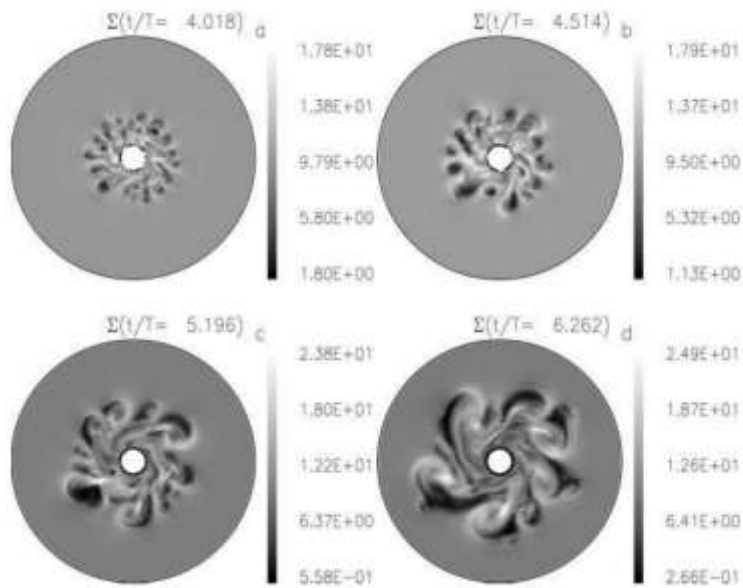
➤ MC27



Tokuda et al. (2024)

# Magnetic interchange instability

Stehle & Spruit (2001)



Lubow & Spruit (1995)

$$\Omega_A^2 / \Omega^2 \gtrsim L/H, \quad \Omega_A^2 = \frac{B_{z0}^2}{2\pi\Sigma_0 H}$$

Magnetic pressure gradient increases as the distance from gravitational source increases

Li & Mckee (1996)

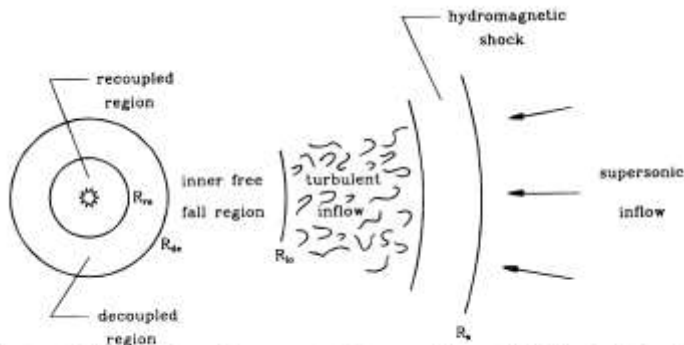


FIG. 1.—Schematic view of the accretion flow around low-mass protostars. The accretion hydromagnetic shock has a finite width, and is driven by the supersonic inflow by the magnetic field accumulated behind the shock. The various postshock regions are discussed in the text.

- 重力の方向に強い磁場(磁束)が存在すると、磁束内は磁気圧+ガス圧で磁束外の圧力と釣り合う
- 磁束内のガス圧力は低いため密度も低い
- 浮力が働く、または、レイリーテイラー不安定(密度差のため)が起こる

# Simulations: magnetic interchange instability

Matsumoto et al. (2017)

Tsukamoto et al. (2023)

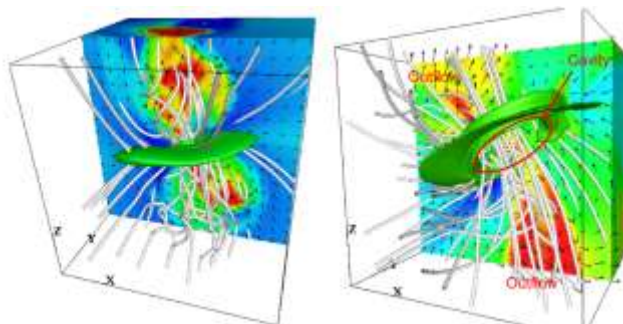
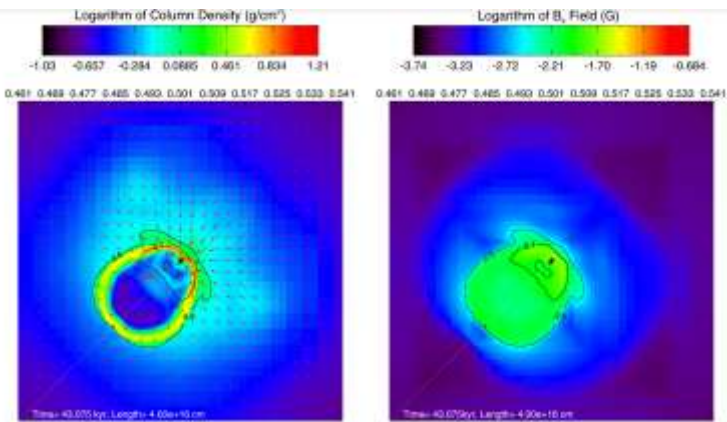
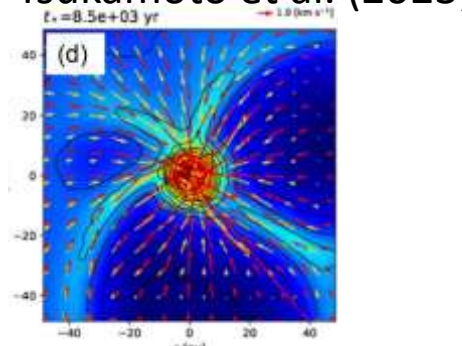
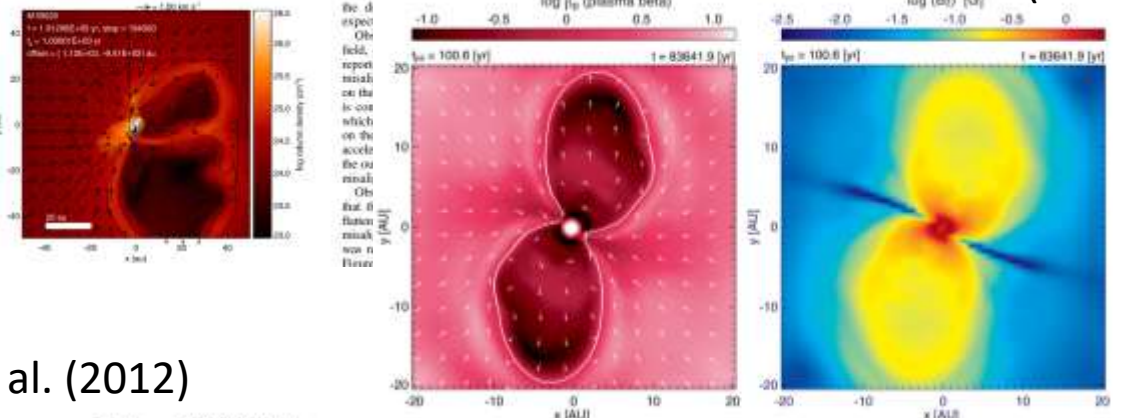


Figure 11. Outflow and envelope structure for model M1B02 at  $t_s = 700$  years. The left and right figures show the regions of  $1400 \text{ au}^2$  and  $100 \text{ au}^2$ , respectively for green boundaries indicate where the density is  $\log(\rho/\rho_0) = 3.3$  ( $\rho = 4.9 \times 10^{-17} \text{ cm}^{-3}$ ) in the left figure and  $4.9$  ( $\rho = 2.1 \times 10^{-17} \text{ cm}^{-3}$ ) in the right figure. The scale indicates the radial velocity distribution on the plane that includes the outflow particle. The color corresponds to a velocity from  $-5.0$  to  $5.0$  ( $\text{km s}^{-1}$ ) in the left figure and from  $-1.0$  to  $1.0$  ( $\text{km s}^{-1}$ ) in the right figure. The arrows indicate the velocity distribution on those plane.



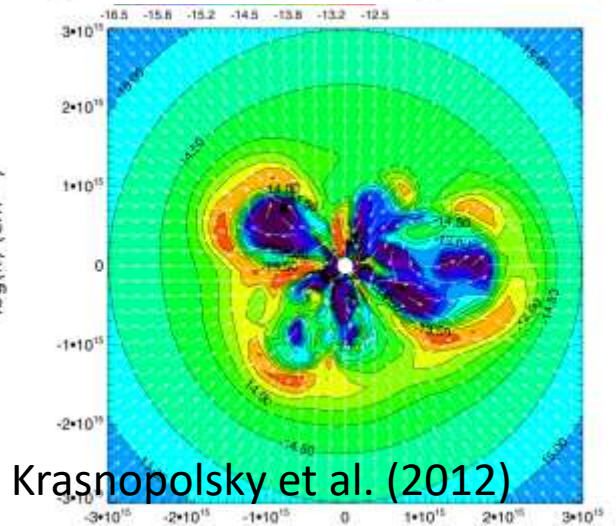
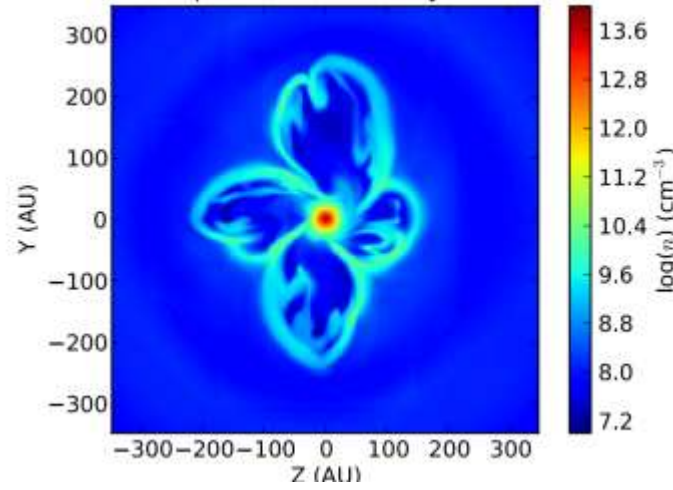
Machida & Basu (2020)

Zhao et al. (2011)

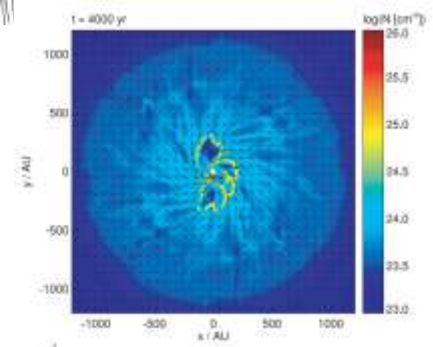


Joos et al. (2012)

$\mu = 2, t = 28687 \text{ yr}$



Seifried et al. (2012)



Krašnopolsky et al. (2012)

# 最近の研究:磁気交換型不安定

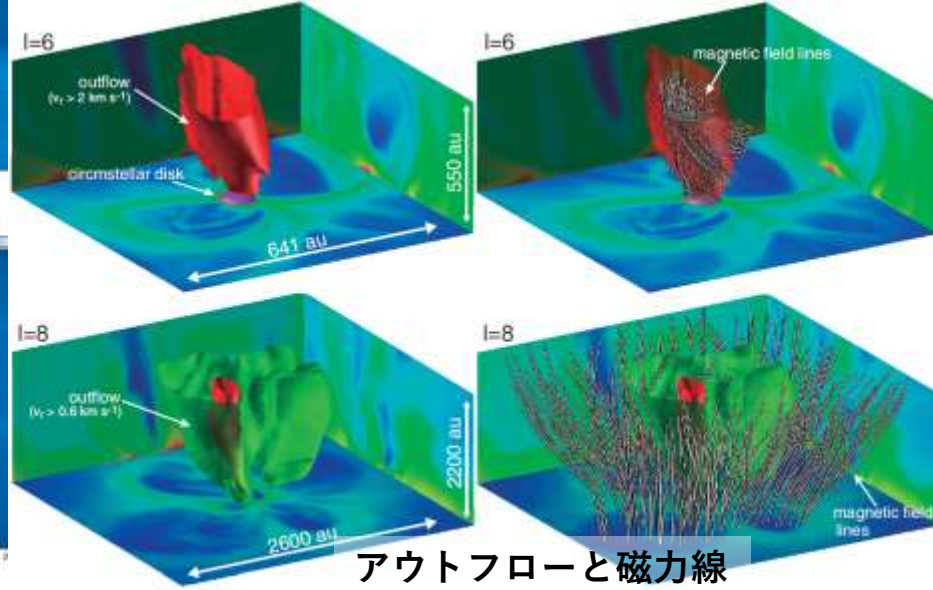
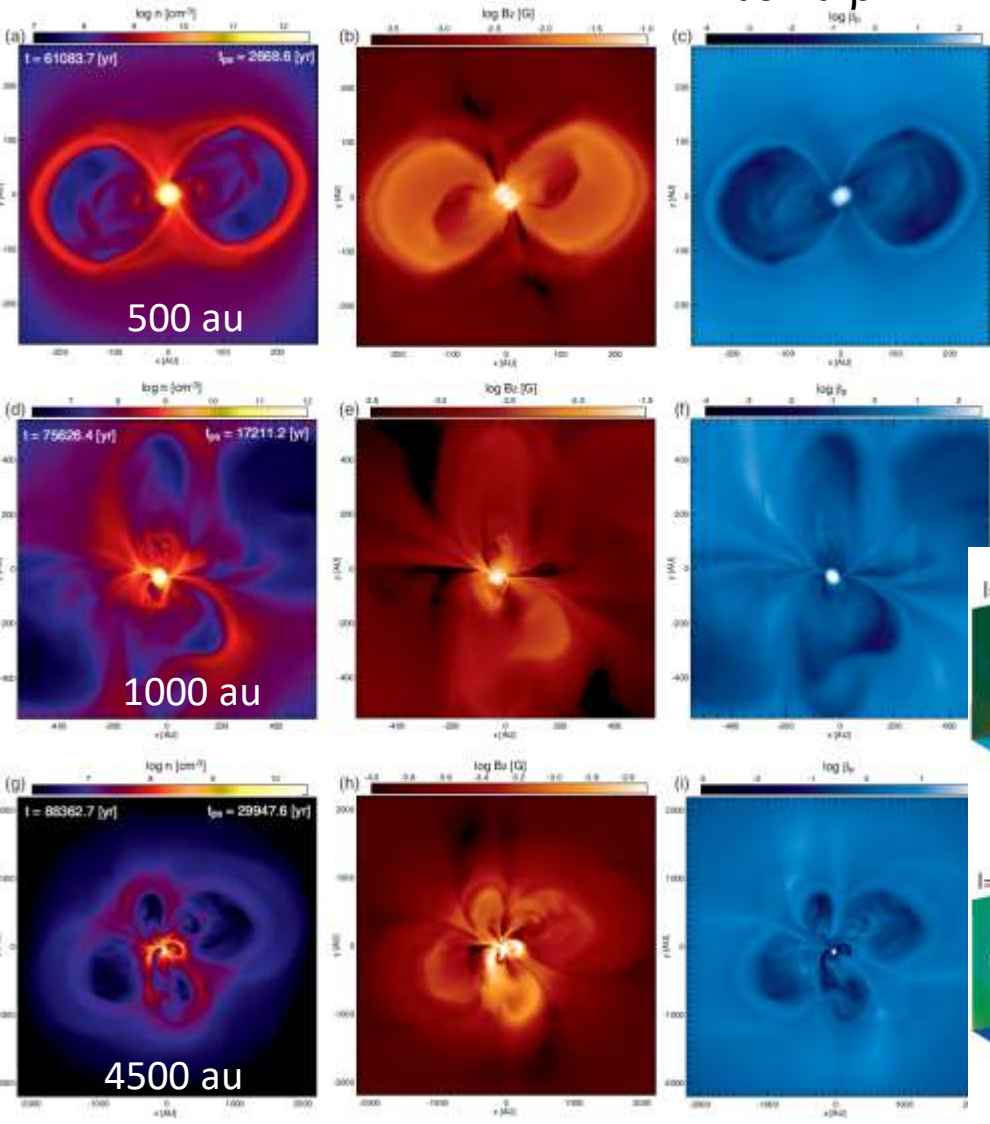
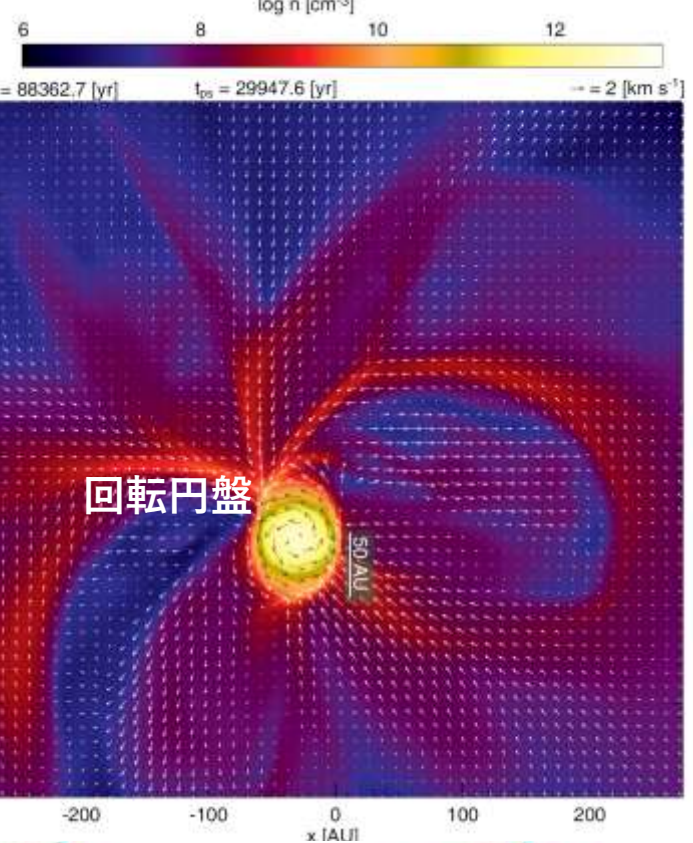
赤道面の物理量の時間進化

Machida & Basu

密度

磁場強度  $B_z$

Plasma  $\beta$

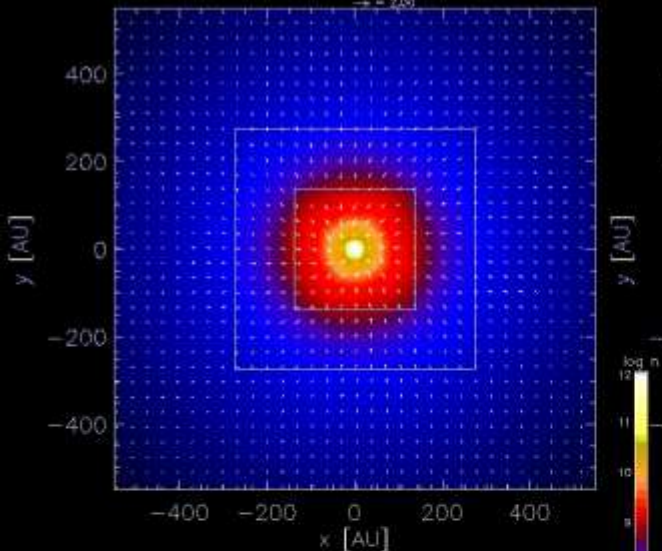


アウトフローと磁力線

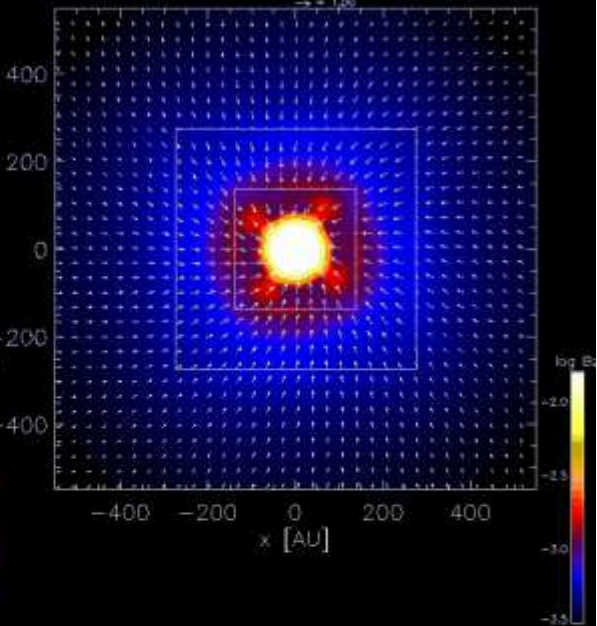
# Interchange instability: アニメーション

Interchange instabilityは、降着段階で再帰的に起こる

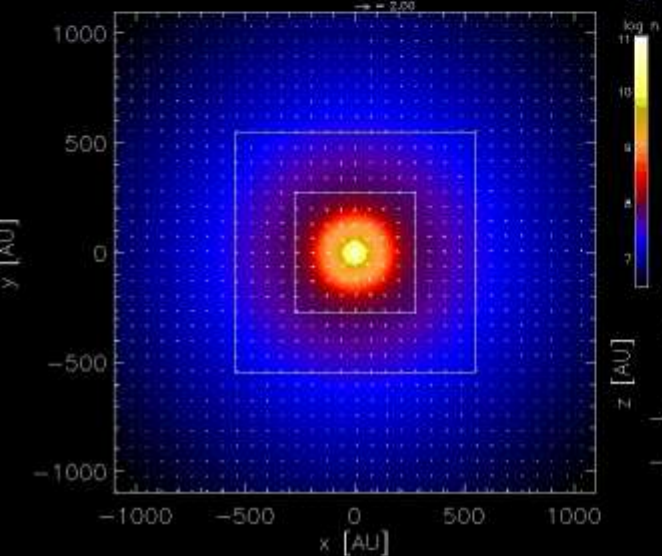
密度：赤道面 (small scale)



磁場強度：赤道面

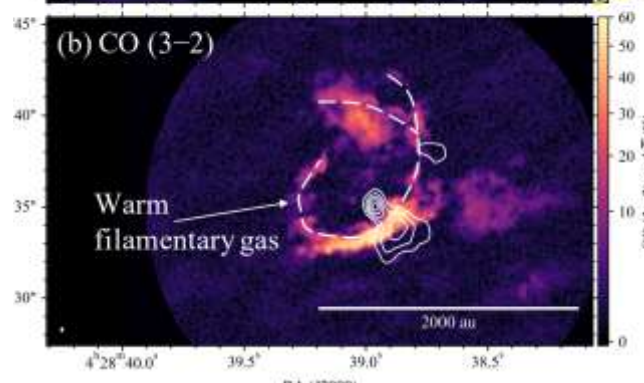
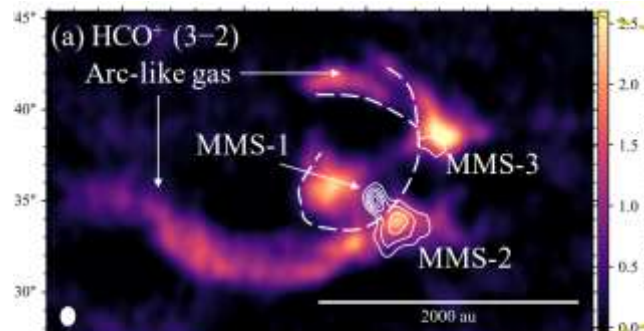
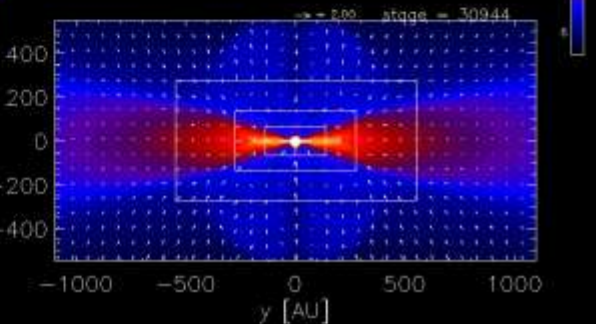


密度：赤道面 (large scale)

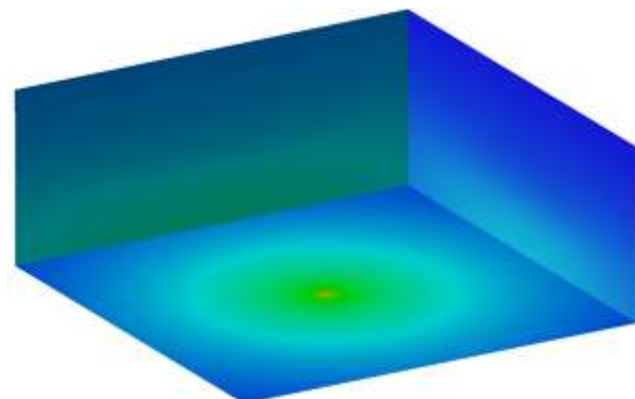


$L_{\text{ps}} = 89.3149169 \text{ [yr]}$     $t = 58504.4523198 \text{ [yr]}$

密度：x=0面



高速アウトフロー



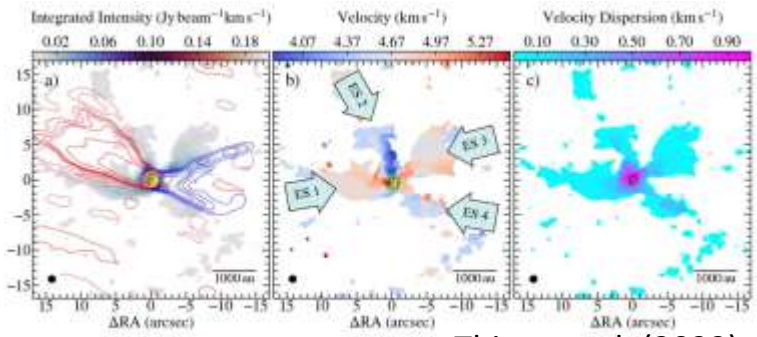
# 非球対称(or 非軸対称)降着 (streamer)

インフォーリングエンベロープで観測される非対称構造の起源は？

# 進化段階とStreamer

- 非球対称、非軸対称の降着
- 緩やかな速度勾配

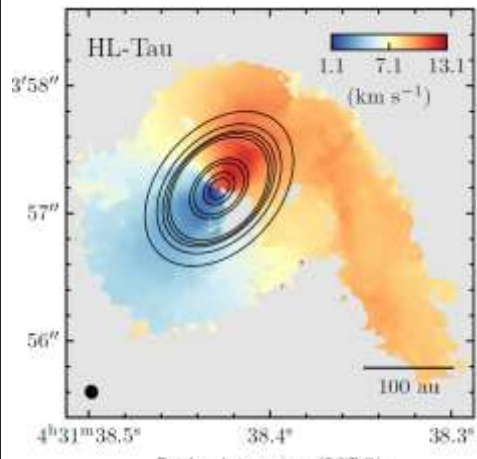
## Class 0



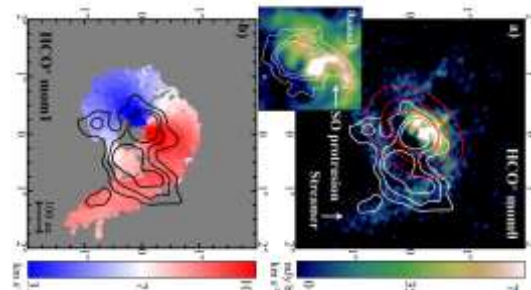
Thime et al. (2022)

## Class I

Yen et al. (2019)



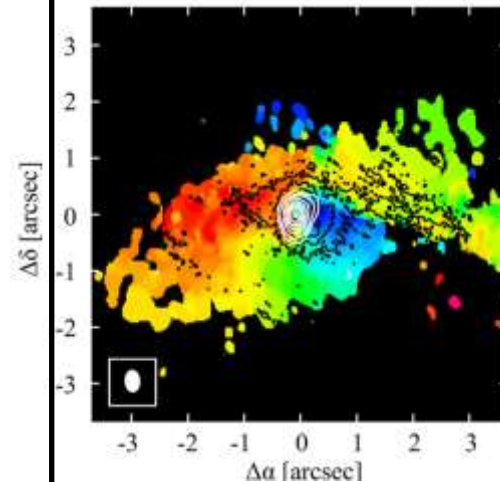
Garufi et al. (2022)



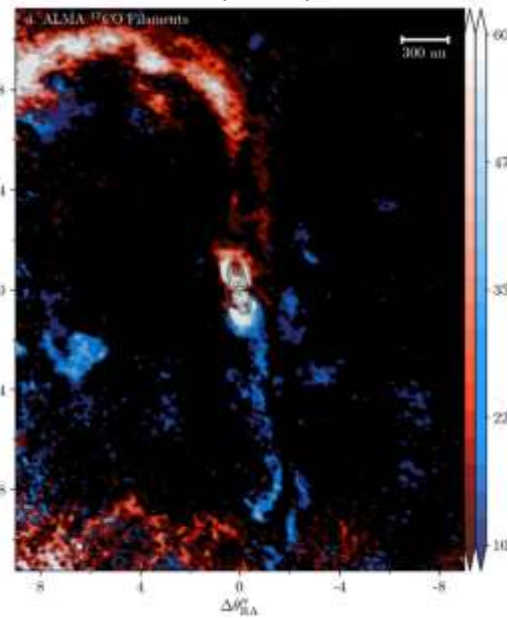
Valdivia-Mena et al. (2022)

## Class II

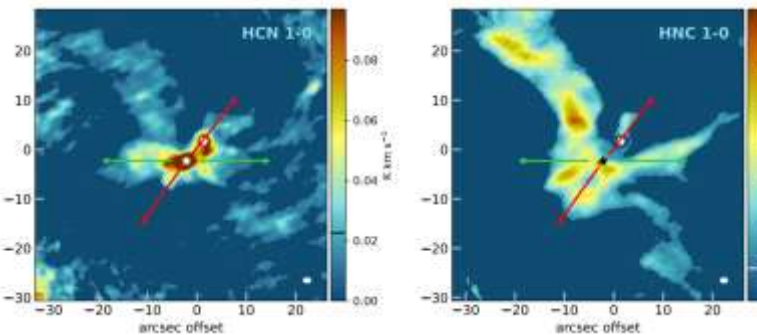
Akiyama et al. (2019)



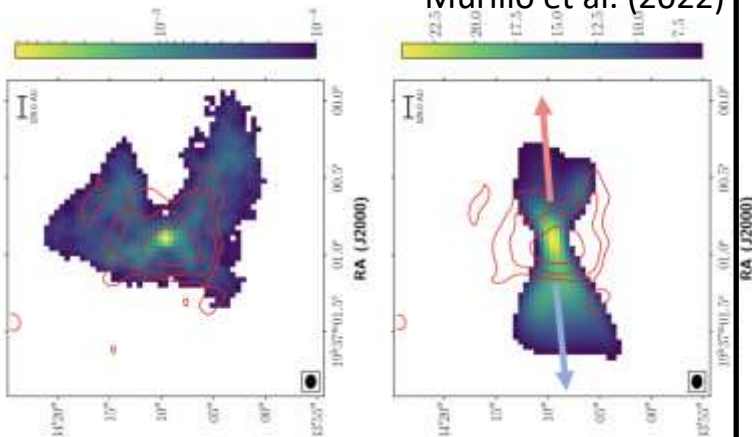
Alves et al. (2020)



Cabedo et al. (2021)

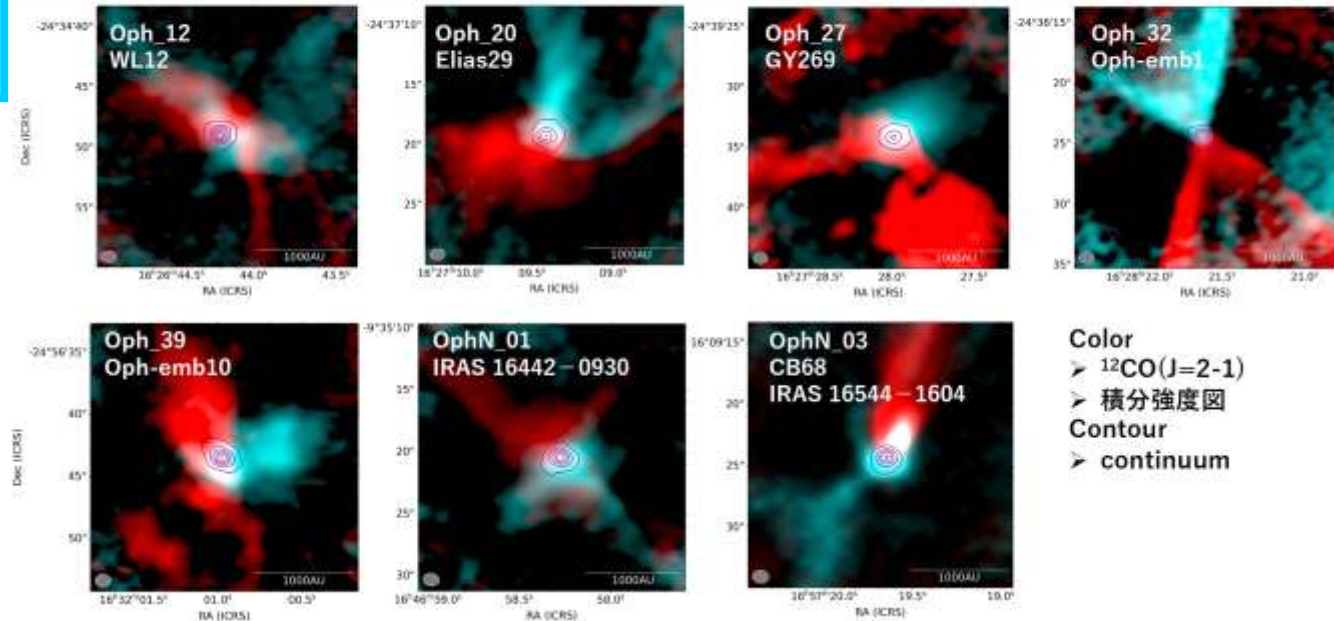


Murillo et al. (2022)

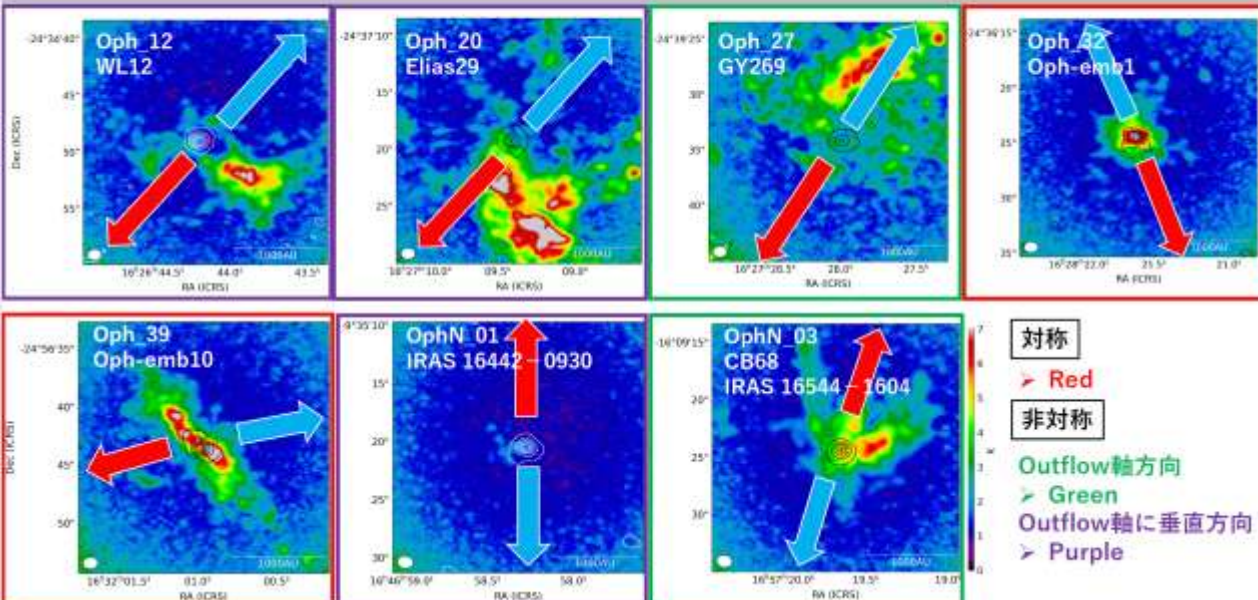


Yamazaki et al.  
in preparation

## Result : $^{12}\text{CO}(J=2-1)$ | Bipolar Outflow



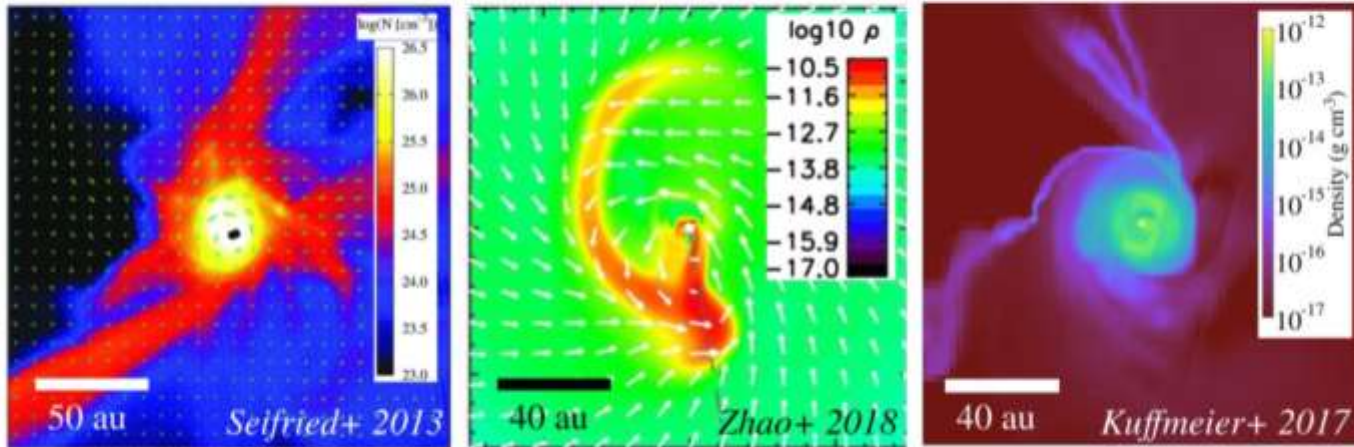
## Result : $\text{C}^{18}\text{O}(J=2-1)$ | Envelope



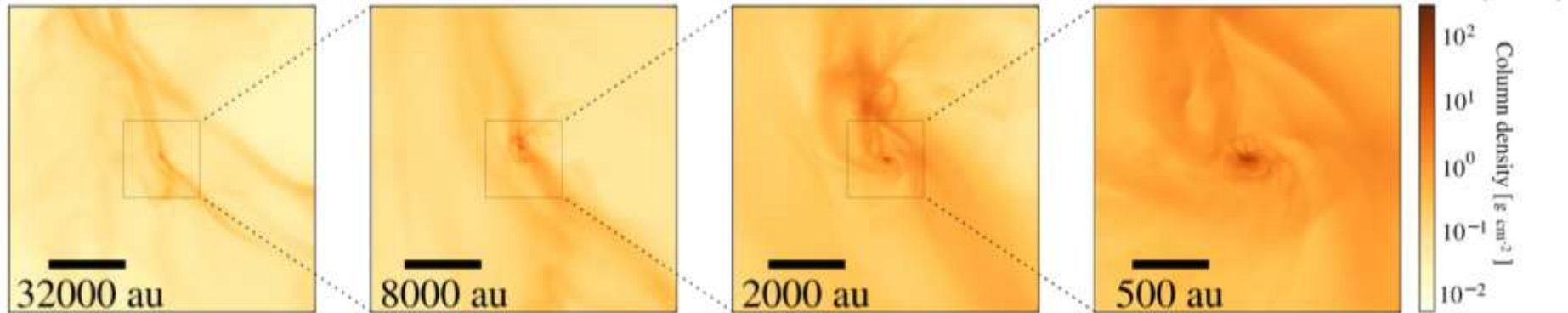
# PP7での発表ファイル (Doris Arzoumanian)

## Simulations: streamers connect core+ to disk scales

Asymmetric infall leads to streamers in varying MHD setups

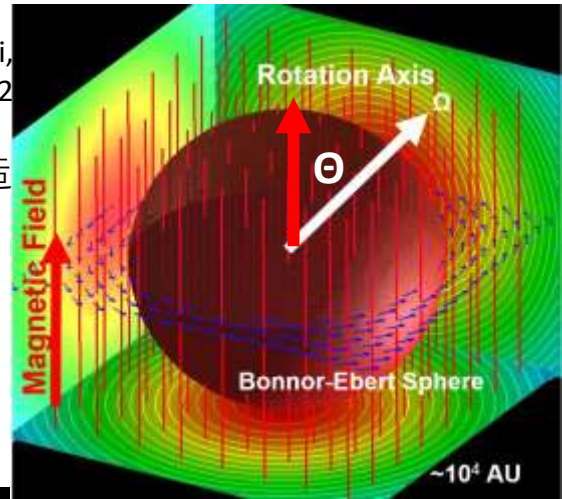


Can streamers connect interstellar to protostellar scales?



# Rotation disk and Pseudo disk

Shinnaga, Takahashi,  
MNM+2019, Tu+202



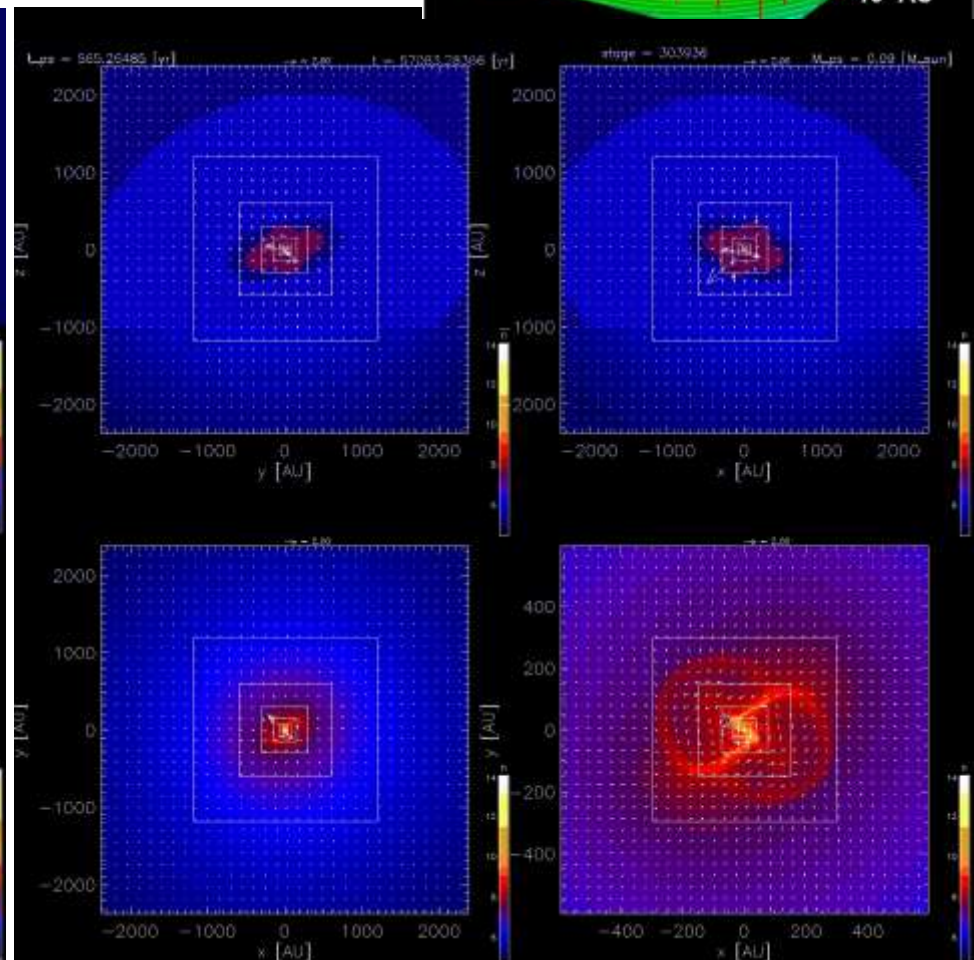
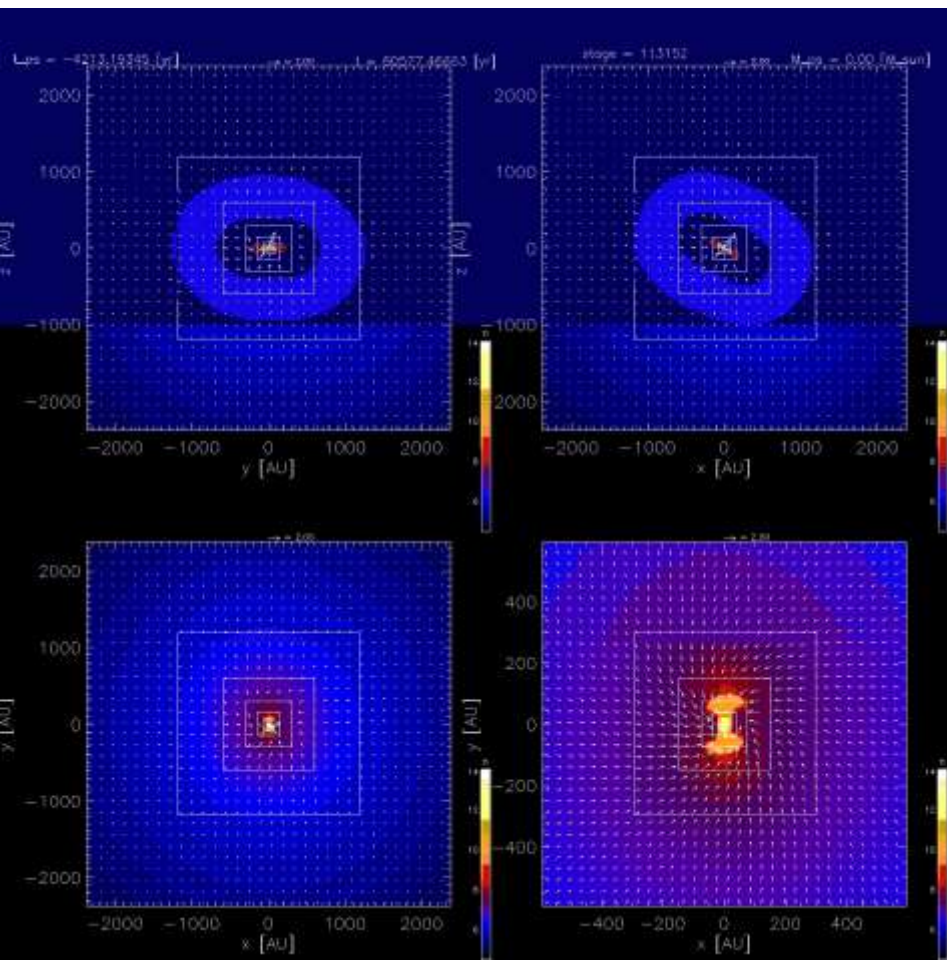
□ 複雑な設定を考えなくても自然に非対称降着になる

- Global scaleからの星形成を考える
- 異常に強い乱流
- ガスClumpの落下
- コア動詞の衝突

□ 磁場を考慮すると複雑な構造  
□ アウトフロー、ねじれた

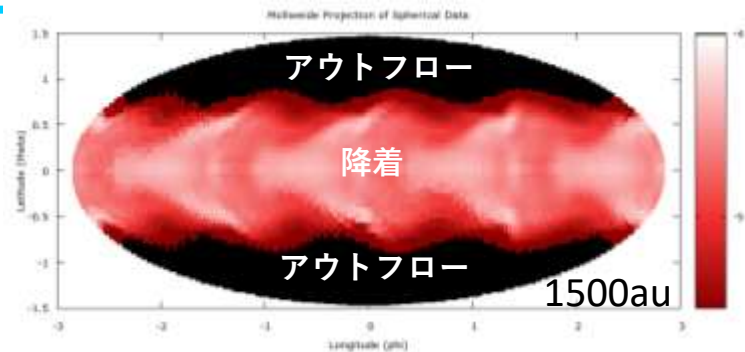
Pseudo disk  
□  $\mu = 3, \beta = 0.02$

磁場なし 磁場あり  $\theta = 30^\circ$

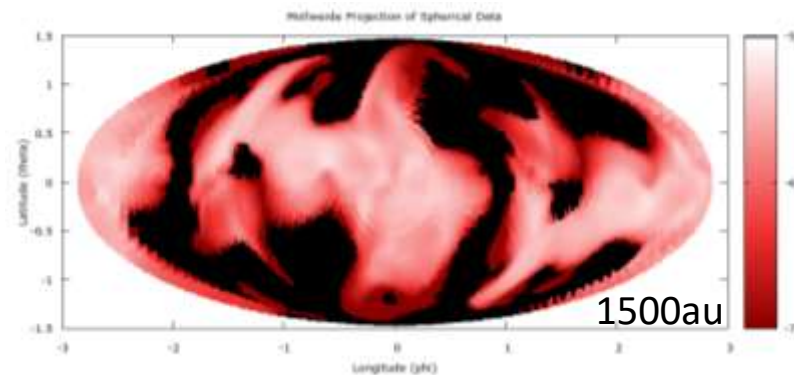


# Column density

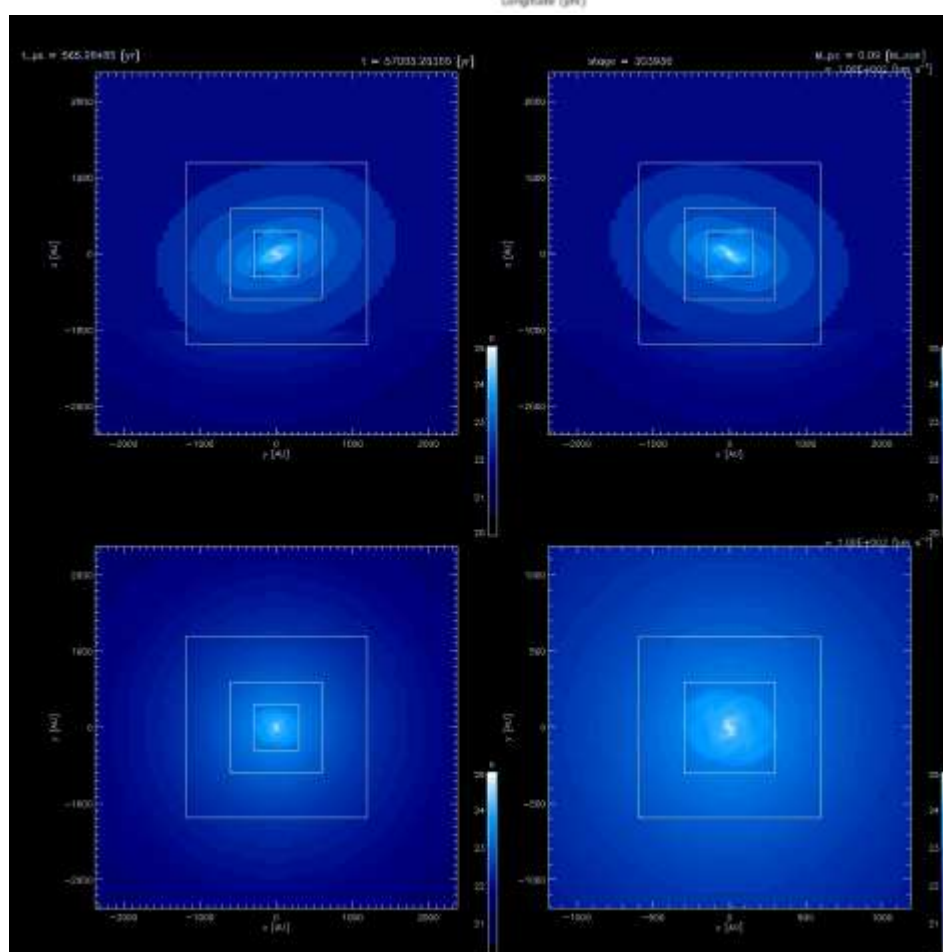
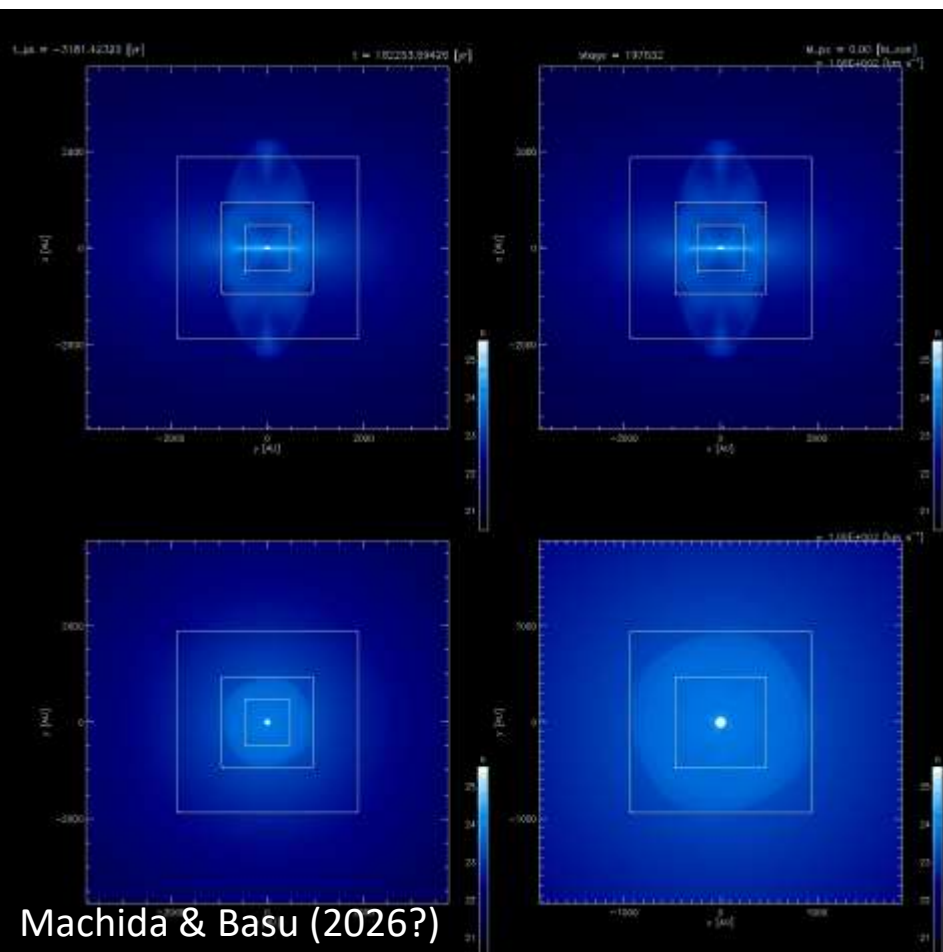
赤・ピンク：inflow 黒：アウトフロー



$\theta=0^\circ$

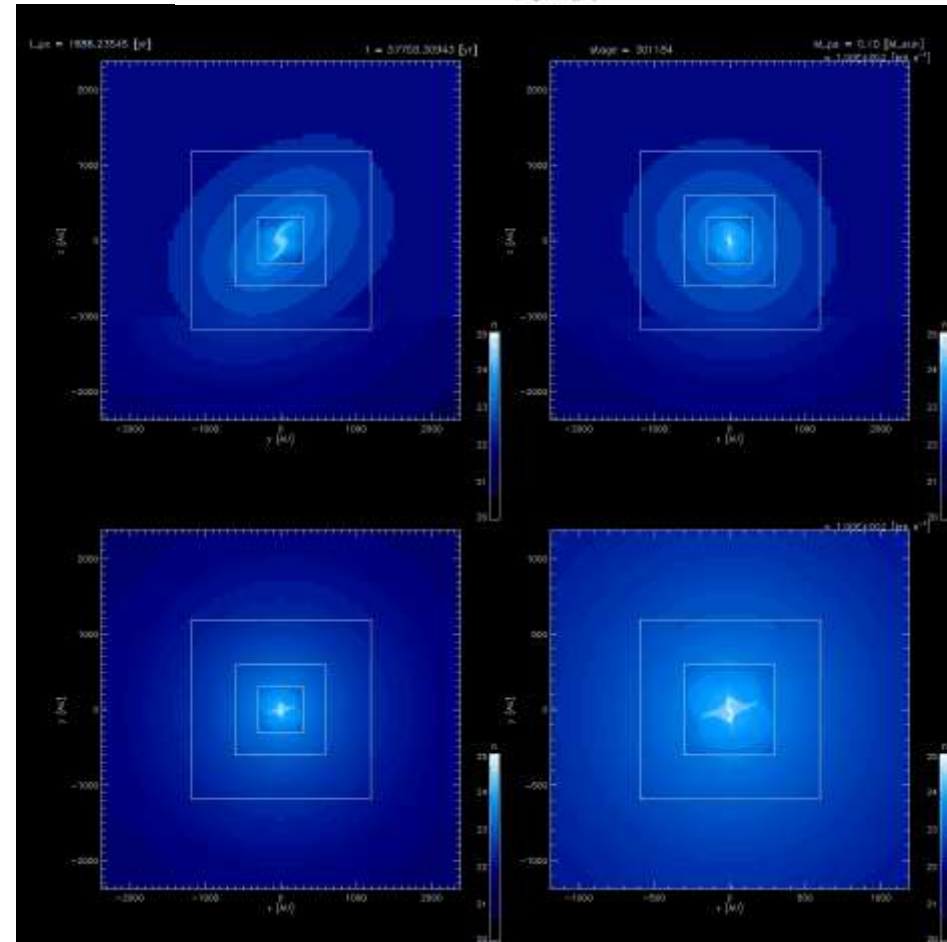
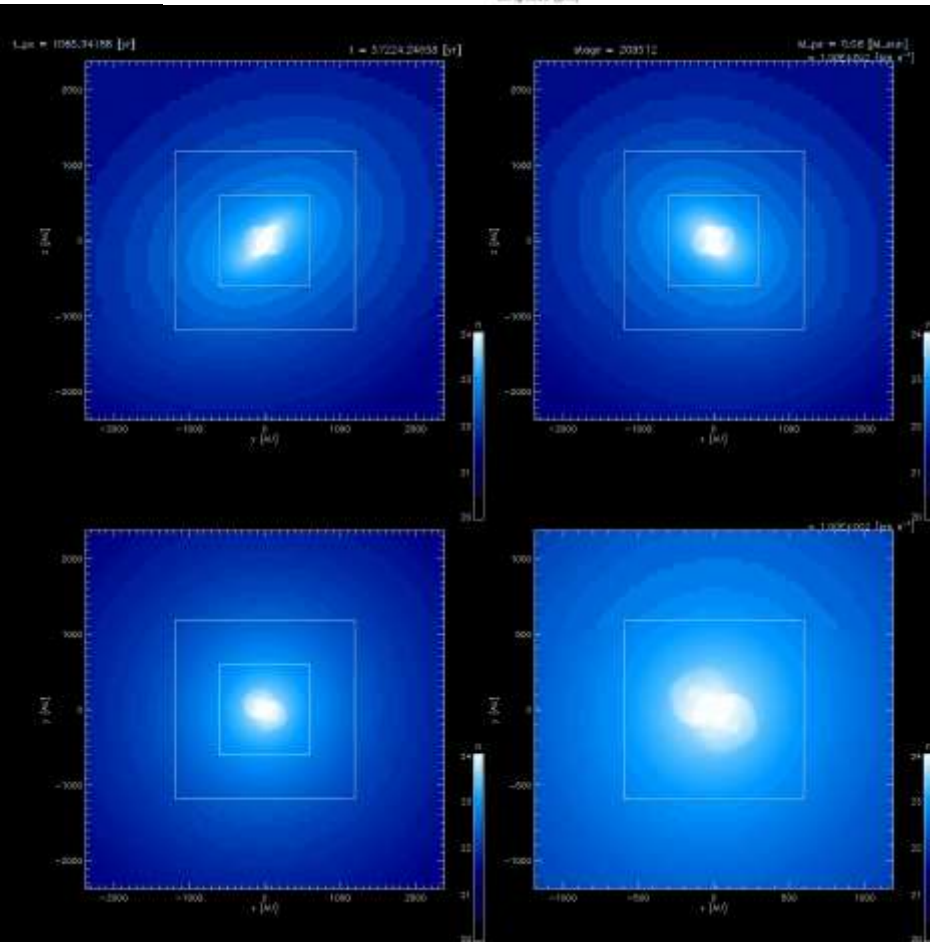
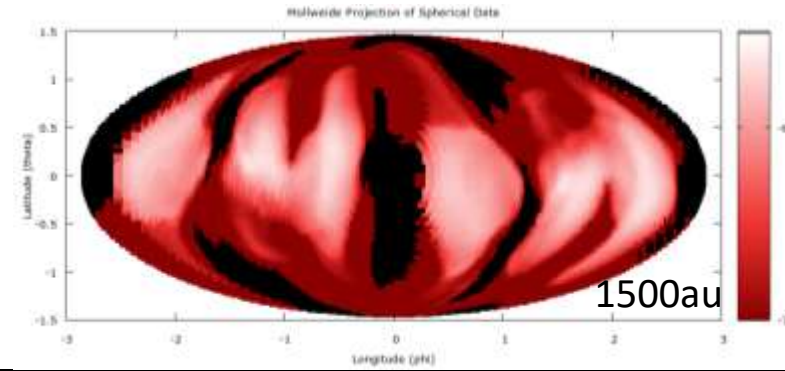
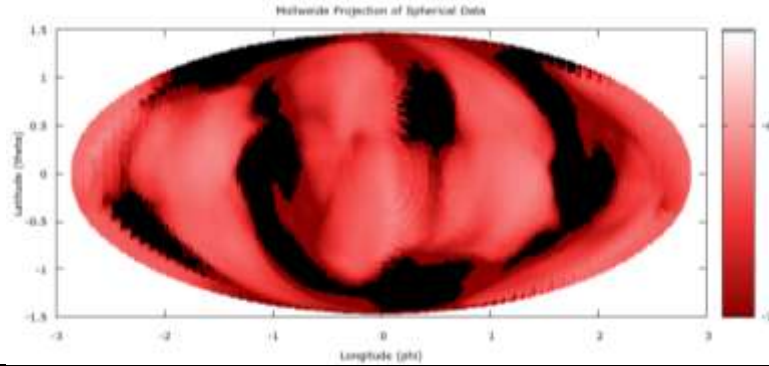


$\theta=30^\circ$



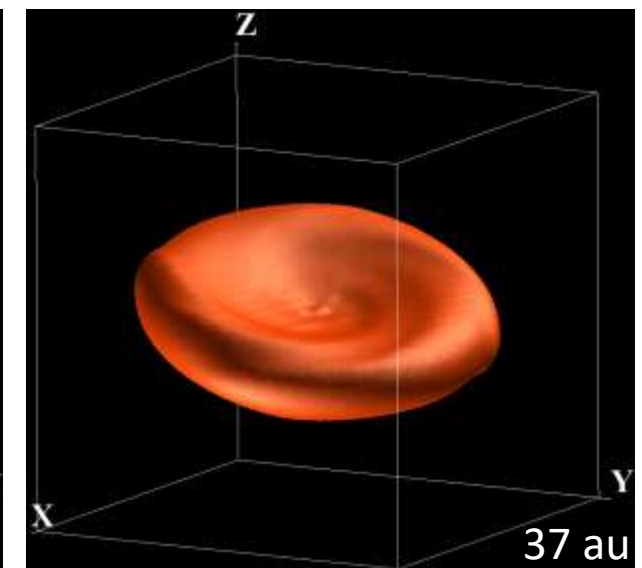
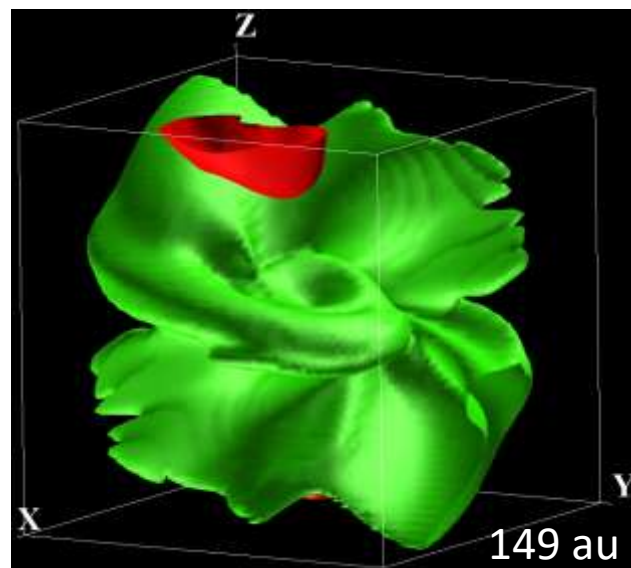
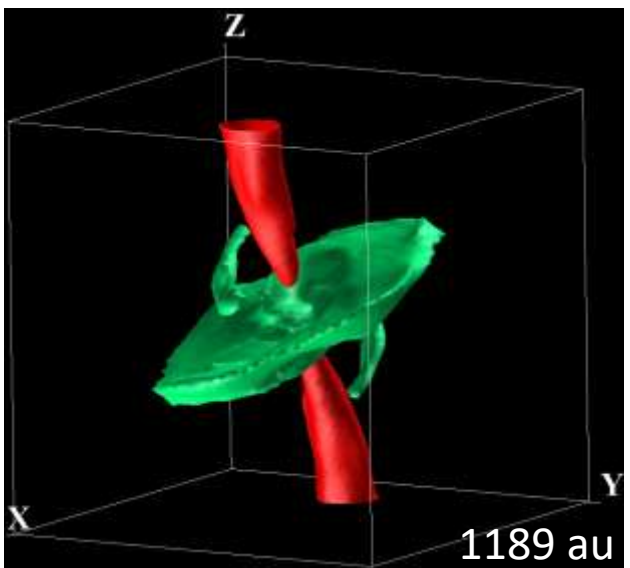
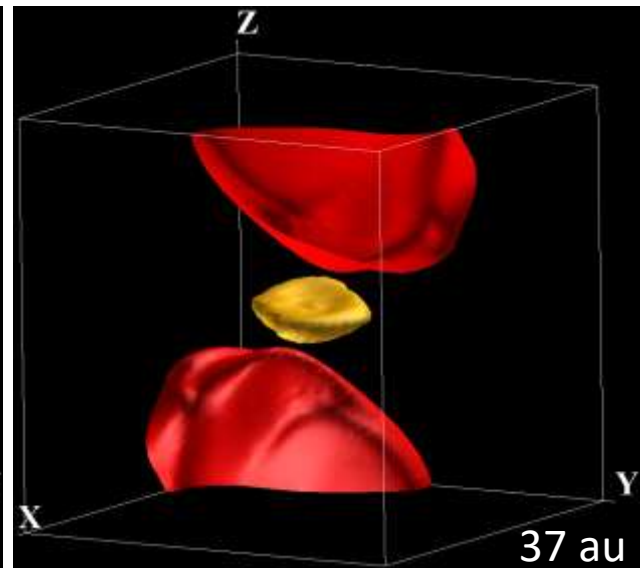
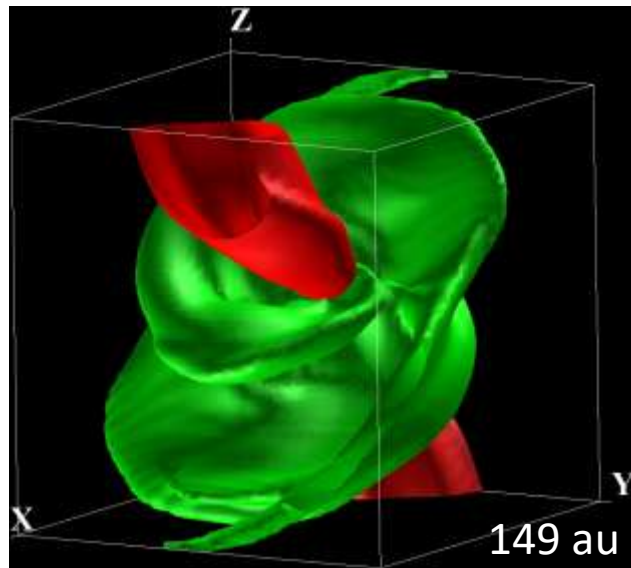
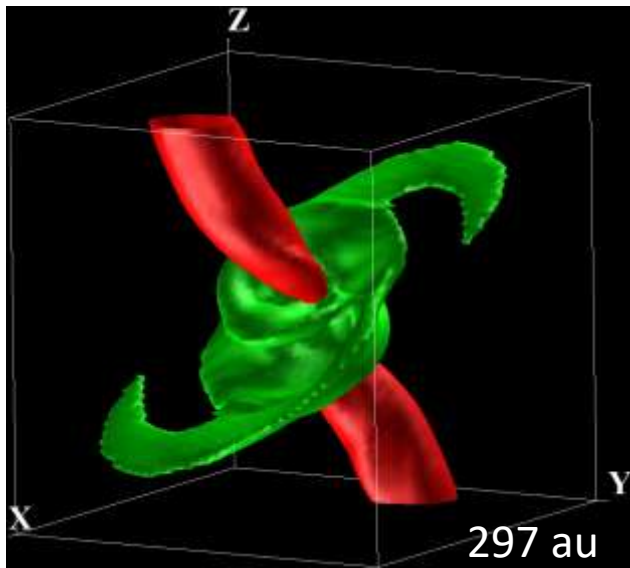
# Column density

赤・ピンク：inflow 黒：アウトフロー



# 3D view

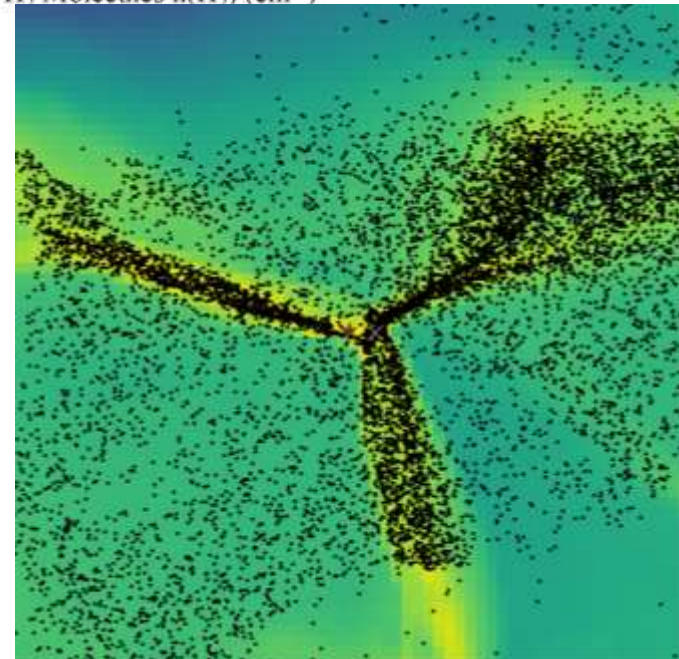
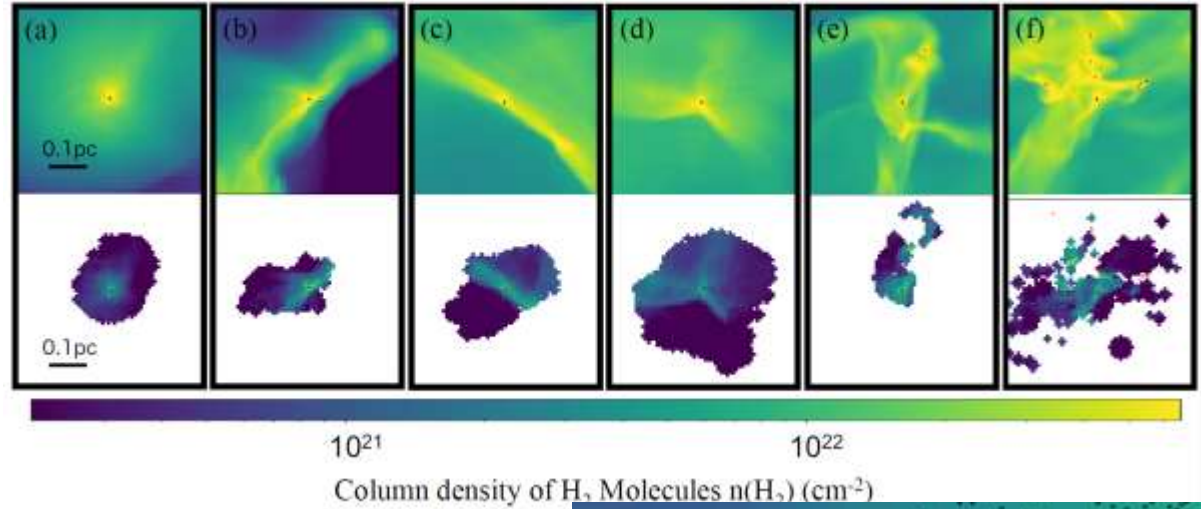
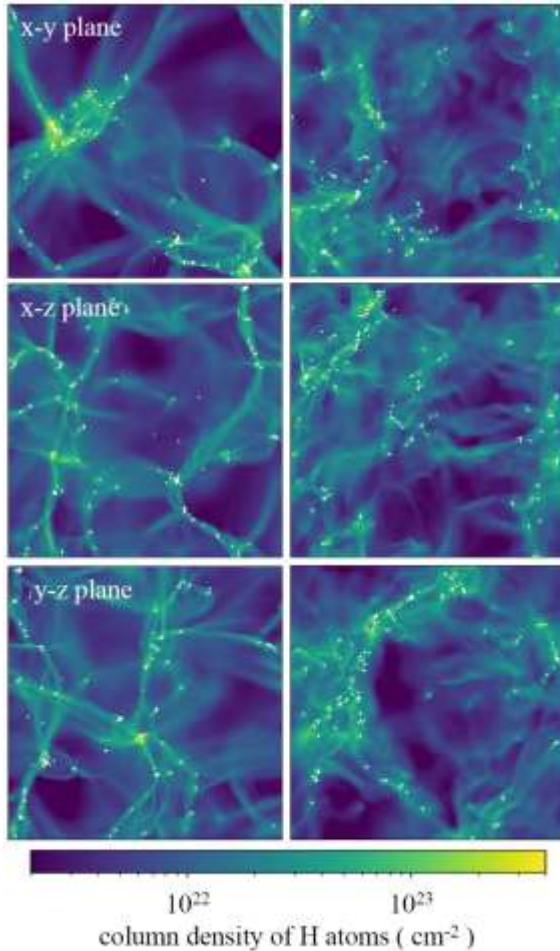
$\theta=30^\circ$



# 星形成コア

- 実際のprestellar coreは複雑な形状
- 理想的な設定(球対称)は、現実的ではないかも

Nozaki, Fukushima, Machida submitted

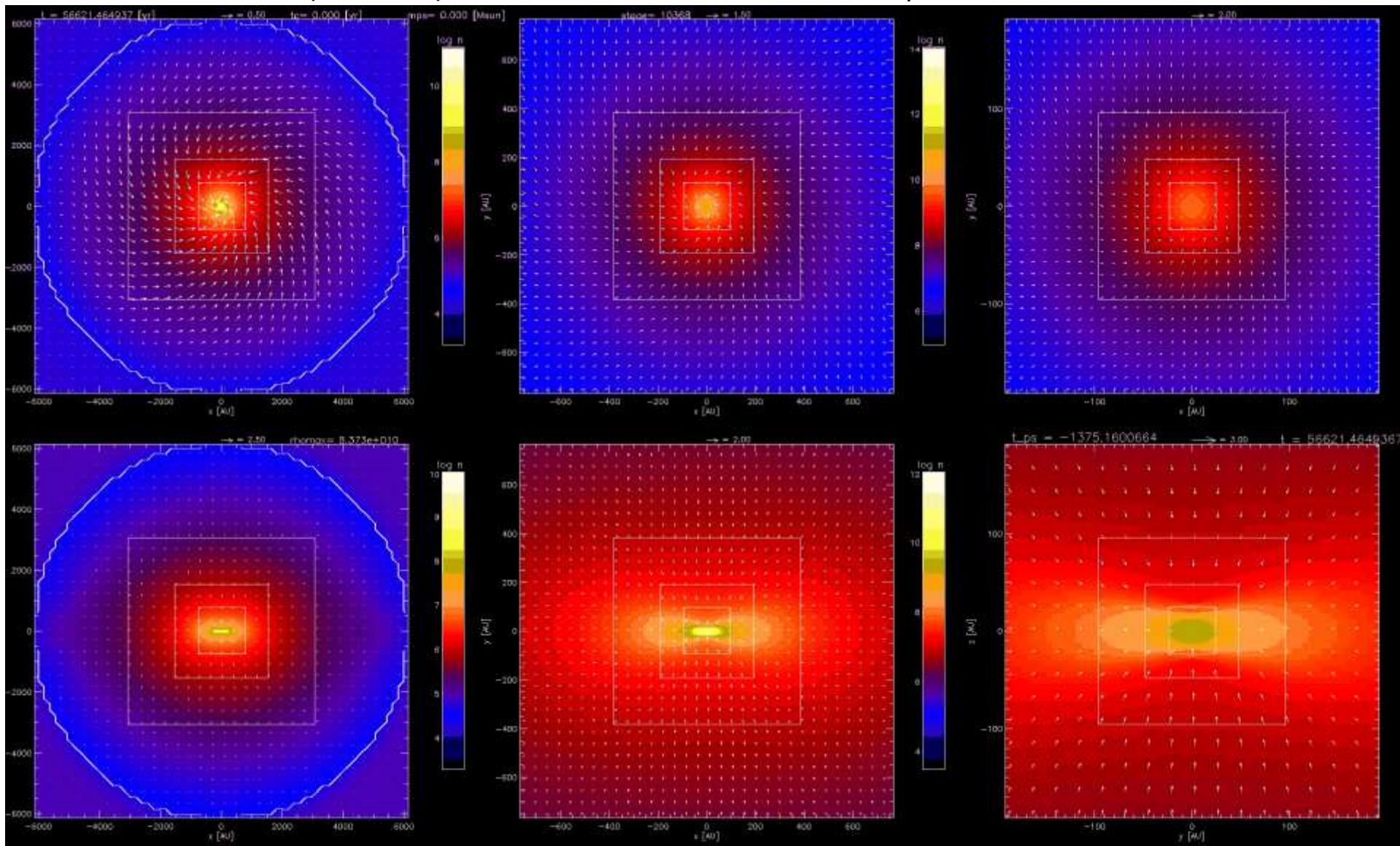


# 星周円盤と原始惑星系円盤

降着段階(Class 0/I)の星周円盤から  
降着終了後(Class II)の原始惑星系  
円盤の関係は？

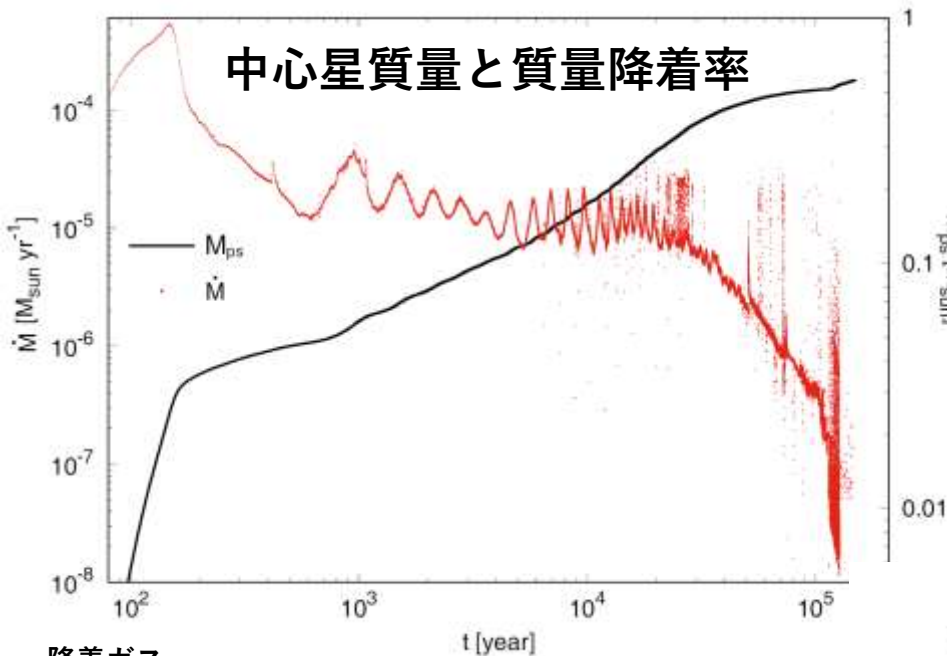
# 長時間進化

- 円盤形成、円盤進化の長時間計算
- 初期の $1M_{\text{sun}}$ のprestellar core  $\rightarrow$  エンベロープ質量が $0.02M_{\text{sun}}$ になるまで計算
- アウトフロー (disk wind)の再活性化  $\rightarrow$  Class IIではwind torqueによって円盤進化



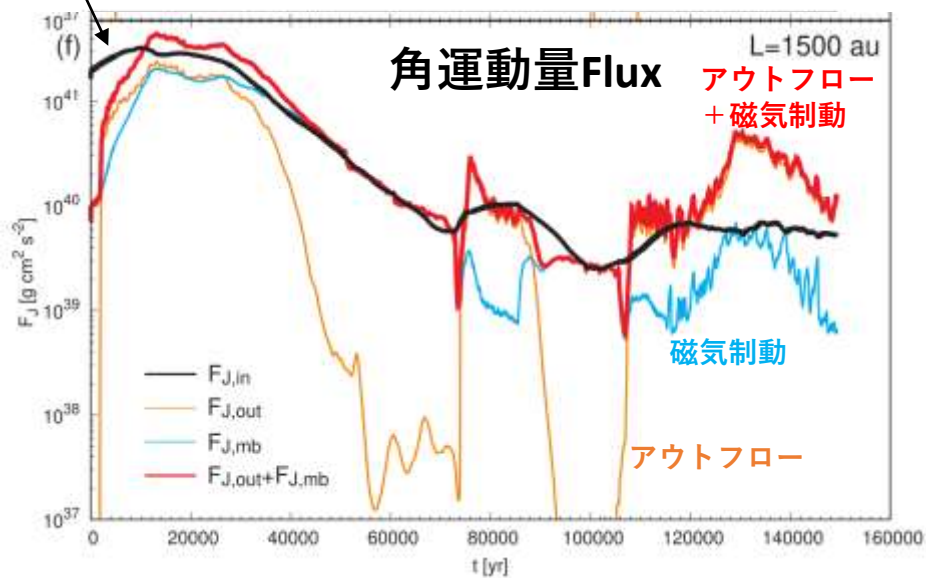
# 円盤進化

中心星質量と質量降着率



降着ガス

角運動量Flux



- インフォーリングエンベロープが散逸  
→ ラム圧低下 → disk wind  
→ 磁気制動効率低下 → windで角運動量輸送
- アウトフロー (disk wind)の再活性化 → Class II  
ではwind torqueによって円盤進化
- 計算最後の角運動量輸送flux, 円盤の角運動量  
から円盤の角運動量は $\sim 10^6$ 年で消失

$$F_{J,\text{out}} = \left| \int_{v_r > 0} \rho r_c v_\phi \mathbf{v} \cdot d\mathbf{S} \right|,$$

$$F_{J,\text{in}} = \left| \int_{v_r < 0} \rho r_c v_\phi \mathbf{v} \cdot d\mathbf{S} \right|,$$

$$F_{J,\text{mb}} = \left| \int r \frac{B_\phi}{4\pi} \mathbf{B} \cdot d\mathbf{S} \right|,$$

$$t_{\text{diss},J} = \frac{J_{\text{disk}}}{F_{J,\text{out}}} = \frac{J_{\text{disk}}}{dJ_{\text{out}}/dt} \simeq \frac{3 \times 10^{53}}{10^{40}} \\ \simeq 3 \times 10^{13} \text{ s} = 9.5 \times 10^5 \text{ yr.}$$

## まとめ

- ダスト成長、惑星形成は降着段階(Class I)から開始(?)
  - 単にダストの分布なのか？惑星が出来ているのか？その後の進化？
- 複雑な星周構造は磁気交換型不安定性によって出来た構造(?)
  - 磁束の輸送は2つのモード？磁場の強さに依存？
- 低金属量でもアウトフロー駆動(?)
  - どの金属量までアウトフロー出現するのか？観測は困難？
- 非対称降着の起源は戻じられたPseudo disk(?)
  - 理想化しすぎた初期条件、現実的な星形成コア
- 原始惑星系円盤はdisk windによって持ちされる角運動量によって進化(?)
  - 他の角運動量輸送機構？ より長時間の進化？